

سنجش از دور و اجرای مدل مارکوف برای بررسی تغییرات فضای سبز شهری (مطالعه موردی: منطقه ۱ شهرداری تهران)

منا سروودی^۱، سید علی جوزی^۲

۱-دانشجوی دکترای تخصصی علوم محیط زیست، دانشکده محیط زیست و انرژی، دانشگاه آزاد اسلامی واحد علوم و تحقیقات، تهران

sajozi@yahoo.com

۲-دانشیار گروه محیط زیست، دانشکده فنی و مهندسی، دانشگاه آزاد اسلامی واحد تهران شمال

تاریخ دریافت: ۹۰/۱۰/۹ تاریخ پذیرش: ۹۱/۴/۲

چکیده

با توجه به نقش فضای سبز به عنوان یکی از مهم‌ترین کلاس‌های کاربری اراضی در اکوسیستم شهری، مطالعه تغییرات آن مهم است. در این مطالعه، با هدف بررسی تغییرات فضای سبز منطقه ۱ شهرداری تهران، از شاخص NDVI و تصاویر TM و IRS متعلق به سالهای ۱۳۶۹ و ۱۳۸۵ استفاده و نقشه‌های فضای سبز منطقه با تأکید بر درجات مختلف سرسبزی تهیه شد. مقایسه وسعت کلاس‌های سرسبزی نشان داد که وسعت اراضی بدون پوشش به میزان ۱۵۳۸/۲۸ هکتار افزایش و وسعت اراضی تحت پوشش با درجه سرسبزی ضعیف، متوسط و خوب به ترتیب ۱۵/۳، ۲۲/۵۹ و ۰/۳۶ هکتار کاهش یافته است. همچنین، بررسی رویه تغییرات با استفاده از تکنیک بررسی تغییرات پس از طبقه‌بندی با استفاده از Confusion Matrix حاکی از آن است که با تبدیل اراضی بدون پوشش به اراضی تحت پوشش فضای سبز با درجه سرسبزی ضعیف و متوسط، بر وسعت اراضی تحت پوشش گیاهی منطقه به میزان ۳۸/۲۵ هکتار افزوده شده که با توجه به تبدیل ۱۵۷۶/۵۳ هکتار از اراضی دارای پوشش گیاهی به اراضی بدون پوشش، سرانجام از وسعت اراضی تحت پوشش گیاهی ۱۵۳۸/۲۸ هکتار کاسته شده است. اعمال مدل مارکوف و سلول‌های خودکار مارکوف در پیش‌بینی تغییرات فضای سبز منطقه، به ترتیب بیشترین احتمال تخریب با مقدار عددی ۰/۷۷۴۳ در اراضی تحت پوشش با درجه سرسبزی ضعیف و پراکنده‌گی مکانی احتمالی فضای سبز منطقه را ۱۴۰۴ تا اتفاق نشان می‌دهد که این موضوع به برنامه‌ریزی هر چه بهتر در زمینه حفظ و گسترش فضای سبز منطقه کمک می‌کند.

کلید واژه

فضای سبز، سنجش از دور، مدل مارکوف، شاخص NDVI، منطقه ۱ شهرداری تهران.

سرآغاز

اندازه‌گیری‌های لازم را بر روی منابع بیوفیزیکی زمین در مقیاس

مکانی و زمانی فراهم می‌آورد (زبردست و همکاران، ۱۳۸۹).

از جمله روش‌های موجود در بررسی تغییرات فضای سبز به عنوان یکی از کاربری‌های مهم در محیط زیست شهری، استفاده از شاخص‌های پوشش گیاهی است. کسب اطلاعات پیرامون میزان و پراکنش پوشش گیاهی از اهمیت زیادی برخوردار است. استفاده از داده‌های ماهواره‌ای، امکان مطالعه گستره‌ده پوشش گیاهی را فراهم می‌آورد.

به منظور کاهش آثار عوامل ناخواسته مانند آثار جوی بر روی پوشش گیاهی، از شاخص‌های گیاهی استفاده می‌شود. در حقیقت، این شاخص‌ها برای ایجاد تمایز میان پوشش گیاهی و پدیده‌های دیگر که با تک باندها امکان پذیر نیست، به کار می‌روند (علوی پناه و همکاران، ۱۳۸۵). در این میان، شاخص NDVI^۱ یکی از

توسعه فیزیکی شهرها فرایند پیچیده‌ای است که با مطالعه روابط متقابل میان عوامل بیوفیزیکی و انسانی شناخته می‌شود (He, et al., 2006). مطالعات نشان می‌دهد که روند توسعه اجتماعی-اقتصادی شهرها، پس از انقلاب صنعتی، در سراسر جهان سرعت یافت (Park, et al., 2011).

از جمله نتایج گسترش شهرها می‌توان به تغییر کاربری اراضی اشاره کرد. گفتنی است که کاربری اراضی، همواره از جمله مهم‌ترین شاخصه‌هایی بوده که انسان با استفاده از آن، در کنار فراهم ساختن موجبات رشد و توسعه اقتصادی - اجتماعی خود، ساختارها و فرایندهای محیط زیست را تغییر داده است. یکی از منابع اطلاعات مفید در شناسایی این تغییرات، داده‌های سنجش از دور است (نیازی و همکاران، ۱۳۸۹) به طوری که استفاده از فناوری، امکان بررسی و

مواد و روشها

منطقه مورد مطالعه

منطقه ۱ شهرداری، منطقه ای کوهستانی است که با جمعیت ۲۴۰۰۰ نفر و به وسعت تقریبی ۳۵۰۰۰ متر مربع در منتهی‌الیه شمالی شهر تهران و در طول جغرافیایی ۵۱°۲۵'۴۲" تا ۵۱°۲۶'۲۷" و عرض جغرافیایی ۳۵°۴۶'۴۱" تا ۳۵°۴۹'۳۳" شمالی واقع شده است (سالنامه آماری استان تهران، ۱۳۹۰).

پیش‌پردازش تصاویر

در این مطالعه، تصاویر بدون ابرسنجنده TM ماهواره لندست با قدرت تفکیک ۲۸/۵ متر و سنجنده III LISS ماهواره IRS با قدرت تفکیک ۲۳/۵ متر، به ترتیب متعلق به ماه June سالهای ۱۹۹۰ (۱۳۶۹) و ۲۰۰۶ (۱۳۸۵) میلادی تهیه شد. شایان ذکر است که در این زمان، پوشش گیاهی منطقه به رشد تقریبی حداقل خود دست می‌یابد.

در این مطالعه، تصحیح هندسی تصویر سال ۱۳۶۹ با استفاده از تصویر سال ۱۳۸۵ که خود زمین مرجع شده و دارای سیستم تصویر UTM^۲ بود، با استفاده از روش Affine و در محیط نرم افزار تصویر ERDAS IMAGIN 9.1 صورت پذیرفت. مقدار ریشه متوسط مربع خطأ^۳ برابر ۰/۲۸ محسوبه و دو تصویر بر یکدیگر منطبق شدند. گفتنی است در تصحیح هندسی، مقدار ریشه متوسط مربع خطای قابل قبول، کمتر از ۰/۵ پیکسل است (Shalaby, et al., 2007). در ادامه، عملیات نمونه گیری مجدد با استفاده ازتابع نزدیکترین همسایه^۴ به منظور یکسان‌سازی اندازه پیکسل‌های تصاویر و تبدیل آنها به ۳۰ متر انجام گرفت. همچنین به منظور کاهش اثر گرد و غبار و ذرات متعلق از مدل کاست^۵ در نرم افزار IDRISI ANDES 15.0 استفاده شد.

استفاده از شاخص NDVI

برای بررسی تغییرات فضای سبز منطقه مورد مطالعه، از شاخص NDVI استفاده شد.

(۱)

$$\text{NDVI} = \frac{\rho_{\text{NIR}} - \rho_{\text{RED}}}{\rho_{\text{NIR}} + \rho_{\text{RED}}}$$

در این رابطه:

ρ_{NIR} به عنوان بازتابش در باند مادون قرمز نزدیک^۶ و ρ_{RED} به عنوان بازتابش در باند قرمز مرئی است که به علت

پرکاربردترین شاخص‌های گیاهی است (Jiang, et al., 2006 and Leeuwen, et al., 2006 NDVI، برای ناظارت دقیق و دراز مدت تعییرات پوشش گیاهی مناسب است (Martinez and Gilabert, 2009). مطالعات زیادی با استفاده از شاخص مذکور بر روی تعییرات پوشش گیاهی در مناطق شهری انجام شده است که از آن جمله می‌توان به موارد ذیل اشاره کرد:

عبداللهی و همکاران (۱۳۸۷) با تهیه نقشه‌های پوشش گیاهی با استفاده از NDVI و تعریف درجات مختلف سرسبزی، اقدام به مطالعه نحوه تغییر کاربری اراضی، تغییر پوشش گیاهی و تعییرات دما در دو منطقه شهری و غیر شهری اردکان استان یزد طی سالهای ۱۳۶۹ و ۱۳۸۱ کردند. این محققان در مطالعه دیگری در سال ۱۳۸۵ با استفاده از روش مذکور، تعییرات کمی و کیفی پوشش گیاهی در شهرهای اردکان، تفت، طبس و مهریز را در طی سالهای ۱۳۶۹ لغاًیت ۱۳۸۱ بررسی کردند (عبداللهی، ۱۳۸۵). Julien و همکاران (۲۰۰۶)، برای ارزیابی تعییرات فضای سبز شهر مشهد و Julien و همکاران (۲۰۰۶)، در بررسی رابطه میان تعییرات دمای سطح زمین و مقادیر NDVI در اروپا در فاصله سالهای ۱۹۸۲ و ۱۹۹۹ از NDVI استفاده کردند.

همچنین در مطالعات Weiss و همکاران (۲۰۰۴) و Chen و همکاران (۲۰۰۶)، به ترتیب در ناظارت دراز مدت پوشش گیاهی در نواحی نیمه خشک نیومکزیکو و ارزیابی رابطه میان پدیده جزیره حرارتی شهری و تعییرات کاربری و پوشش اراضی با اهداف مختلف و روش‌های گوناگون، از این شاخص در مطالعه پوشش گیاهی شهری بهره گرفته شده است. در مطالعات دیگری Mubea و همکاران (۲۰۱۰) با استفاده از مدل مارکوف به پیش‌بینی تعییرات پوشش گیاهی در نیجریه پرداختند. همچنین Balzter (۲۰۰۰) با استفاده از این مدل پویایی پوشش گیاهی را بررسی کرد.

هدف از این مطالعه، بررسی تعییرات پوشش گیاهی با تأکید بر تعییرات سرسبزی فضای سبز منطقه ۱ شهرداری تهران در یک دوره زمانی ۱۶ ساله (۱۳۶۹ تا ۱۳۸۵) با استفاده از تصاویر ماهواره‌ای و پیش‌بینی تعییرات با استفاده از مدل مارکوف تا افق ۱۴۰۴ که ایران به عنوان قطب علمی و اقتصادی منطقه مطرح خواهد شد، است.

بدین ترتیب با بررسی تغییر شیب هیستوگرام‌های به دست آمده و تغییر در رفتار طیفی فضای سبز، تقسیم‌بندی مقادیر NDVI به انجام رسید.

جدول شماره (۲): طبقه‌بندی مقادیر NDVI به کلاس‌های سرسبزی

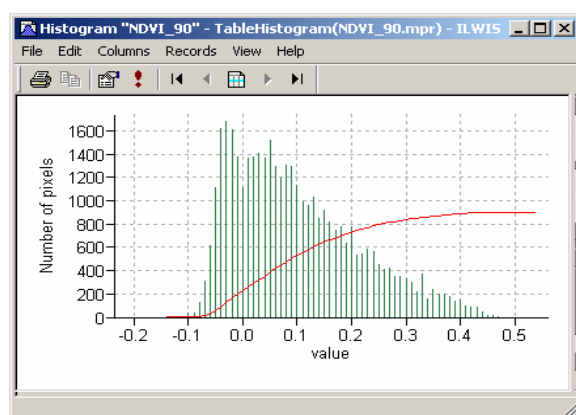
| سنجنده | ۱ | ۲ | ۳ | ۴ |
|--------|---------|-------|---------|----------|
| TM | -۰/۲۰-۰ | ۰-۰/۲ | ۰/۲-۰/۴ | ۰/۴-۰/۵۴ |
| IRS | -۰/۳-۰ | ۰-۰/۱ | ۰/۱-۰/۳ | ۰/۳-۰/۴۵ |

(۱) اراضی بدون پوشش / -۲ فضای سبز با درجه سرسبزی ضعیف / -۳ فضای سبز با درجه سرسبزی متوسط / -۴ فضای سبز با درجه سرسبزی خوب)

همچنین به منظور بررسی رویه تغییرات فضای سبز از تکنیک بررسی تغییرات پس از طبقه‌بندی^۷ استفاده شد. بدین منظور عملیات Cross ۳.۳ بر روی نقشه‌های فضای سبز به دست آمده (اشکال ۴ و ۵) انجام و تابع Confusion Matrix در محیط نرم افزار ILWIS انجام شد.

شایان ذکر است که تکنیک بررسی تغییرات پس از طبقه‌بندی، در بسیاری از تحقیقات پیرامون محیط زیست شهری به گونه موفقیت‌آمیزی مورد استفاده قرار گرفته است (Dewan and Yamaguchi, 2009).

در این روش، تصویر حاصل در بر دارنده طبقاتی است که نشان‌دهنده تبدیلات هر یک از طبقات به طبقات دیگر در بازه زمانی مورد مطالعه است. بدین ترتیب مساحتی از هر طبقه که در گذر زمان تغییر نیافتد، و یا به کلاس‌های دیگر سرسبزی و یا کلاس بدون پوشش تبدیل شده است، قابل بررسی است.



شکل شماره (۱): هیستوگرام به دست آمده از اعمال این شاخص بر تصویر TM

استفاده از تصاویر TM و IRS، مطابق با جدول شماره (۱)، جایگزین می‌شود.

جدول شماره (۱): روابط محاسبه NDVI مطابق با تصویر

سنجنده TM و IRS

| سنجنده | رابطه محاسبه NDVI |
|--------|-----------------------------|
| TM | (BAND4-BAND3)/(BAND4+BAND3) |
| IRS | (BAND3-BAND2)/(BAND3+BAND2) |

این شاخص به طور گسترده و مبتنی بر ارزش‌های طیفی در شناسایی شرایط رشد پوشش گیاهی استفاده شده است. نسبت بازتابندگی باندهای قرمز و مادون قرمز نزدیک که به ترتیب نشان دهنده بازتابش امواج در باند موج قرمز مرئی و باند موج مادون قرمز رادیومتر ماهواره است، در بررسی شرایط و نقشه سازی پوشش گیاهی استفاده می‌شود. زیرا این دو طول موج به شکل فزاینده‌ای توسط گیاهان به ترتیب، جذب و بازتابیده می‌شوند.

در این روش، محاسبه نسبت، دامنه تغییرات و مقادیر NDVI از ۱- تا +۱ است. مقدار عددی زیاد نشان‌دهنده پوشش گیاهی سالم بوده و مقدار عددی کم دلالت بر پوشش گیاهی ناسالم، و یا تحت فشار همانند شرایط اراضی بدون پوشش دارد (Lee , Yeh, 2009). با در اختیار داشتن نقشه‌های رقومی ۱:۲۵۰۰۰ برخی از نواحی منطقه و روی هم‌گذاری آن با نقشه‌های به دست آمده اقدام به تصحیح نقشه در موارد لزوم گردید.

به منظور بررسی تغییرات فضای سبز در منطقه ۱ شهرداری تهران اقدام به تهیه نقشه فضای سبز منطقه مورد مطالعه با تأکید بر درجات مختلف سرسبزی شد. بدین منظور و با هدف افزایش دقت، مقادیر NDVI به کلاس‌های مساوی تقسیم نشد، بلکه با توجه به تغییرات شیب هیستوگرام‌های به دست آمده (اشکال ۱ و ۲)، از اعمال شاخص NDVI بر روی تصاویر، تقسیم‌بندی مقادیر این شاخص مطابق با جدول شماره (۲) به چهار کلاس بدون پوشش، پوشش گیاهی با درجه سرسبزی ضعیف، متوسط و خوب با استفاده از روش Slicing و در محیط نرم افزاری ILWIS ۳.۳ صورت پذیرفت. گفتنی است که این روش از جمله روشهای پر کاربرد بوده و در مطالعات عبدالالهی و همکاران (۱۳۸۷ و ۱۳۸۵)، اسداللهی و فاطمی (۱۳۸۹) به کار گرفته شده است.

$$S = \{s_1, s_2, s_3, \dots, s_r\} \quad (4)$$

داشته باشیم، رابطه ذیل چگونگی به دست آمدن $z_i P_j$ را نشان می‌دهد:

(۵)

$$p_{ij}^{(n)} = \sum_{k=1}^r p_{ik} p_{kj}$$

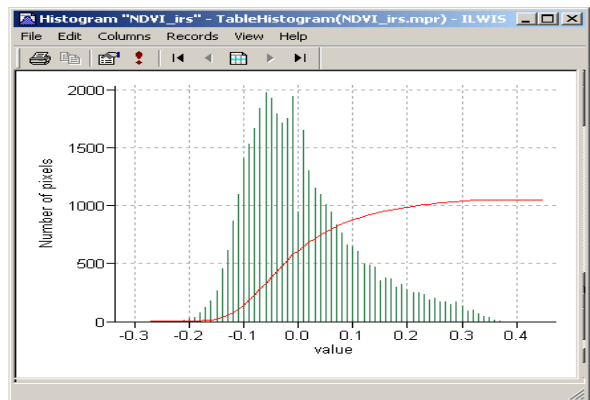
در معادله فوق، $P_{ij}^{(n)}$ احتمال رفتن از حالت i به حالت j را پس از n گام نشان می‌دهد.

در این مدل دو نقشه مربوط به دو دوره زمانی به صورت ماتریسی با یکدیگر مقایسه می‌شوند. به طوری که بر اساس حداقل احتمال، پیش‌بینی می‌شود که هر پیکسل در هر کلاس با چه احتمالی در همان کلاس مانده یا به کلاسی دیگر تبدیل می‌شود (EASTMAN, 2006). در این مطالعه به منظور پیش‌بینی تغییرات پوشش گیاهی منطقه ۱ شهرداری تهران از مدل مارکوف در محیط نرم افزاری IDRISI ANDES 15.0 استفاده شد.

اجرای مدل سلول خودکار_مارکوف^{۱۰}

به منظور تهیه نقشه پیش‌بینی تغییرات فضای سبز منطقه مورد مطالعه، مدل سلول خودکار_مارکوف با استفاده از توابع به دست آمده از اعمال مدل مارکوف در محیط نرم افزاری IDRISI ANDES 15.0 اجرا شد. با استفاده از این مدل، وضعیت پیکسل‌ها برای پیش‌بینی تغییرات وضعیت آنها در آینده از قوانین خاصی پیروی می‌کنند.

به طور مثال پیکسل C_{ij} (پیکسل قرار گرفته در سطر I و ستون J در زمان $t+1$ به چهار عامل، وضعیت سلول در زمان t پنجره همسایگی (S_i, C_{ij}) ، وضعیت همسایگان سلول در زمان t (Ω, C_{ij}) و قوانین تبدیل (وضعیت هر یک از سلول‌ها در گذر زمان بر اساس قوانین تبدیل، به طور خودکار به روز می‌شوند). بستگی دارد. به گام‌هایی به روز رسانی از زمان t_0 (مباده زمانی) تا زمان پایان عملیات) در اصطلاح، تکرار نامیده می‌شود (EASTMAN, 2006). در شکل شماره (۳) مراحل انجام این مطالعه نشان داده شده است.



شکل شماره (۲): هیستوگرام به دست آمده از اعمال این شاخص بر تصویر IRS

ارزیابی دقت نقشه‌ها

به منظور ارزیابی دقت نقشه‌های تهیه شده، با توجه به آشنایی با منطقه مورد مطالعه و به کمک تفسیر بصیر تصویر رنگی کاذب IRS(RGB:231) و TM(RGB:432) اقدام به جمع آوری نمونه‌های تعليمی با استفاده از نقشه توپوگرافی منطقه (۱:۲۵۰۰۰) متعلق به سالهای ۱۳۶۹ و ۱۳۸۵ شد. بدین ترتیب با در اختیار داشتن ۲۰۰ نمونه تعليمی و در نظر گرفتن دو کلاس کلی اراضی فاقد فضای سبز و اراضی دارای فضای سبز از روش پیشنهادی "دلاپیان و اسمیت" (Dellepian and Smith, 1999) مطابق با رابطه (۲) ذیل استفاده شد.

(۲)

$$OA = \frac{1}{N(\sum P_{ii})}$$

که در آن OA دقت کلی، N تعداد کل پیکسل‌های آزمایشی، $\sum P_{ii}$ مجموع پیکسل‌های درست طبقه‌بندی شده است. همچنین ضریب "کاپا" نیز از رابطه زیر محاسبه شد.

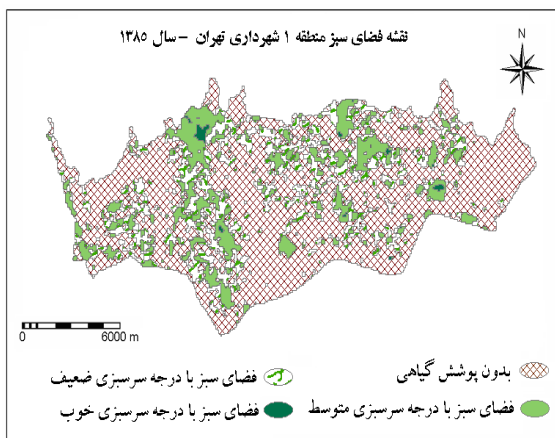
(۳)

$$K = \frac{P_o - P_c}{1 - P_c} \times 100$$

که در آن P_o درستی مشاهده شده و P_c توافق مورد انتظار هستند (بنیاد و حاجی قادری، ۱۳۸۴).

اجرای مدل مارکوف^{۱۱}

مدل مارکوف در سال ۱۹۰۷ توسط فردی روسری به نام "آندری آندربیچ مارکوف" ارائه شده است. زنجیره مارکوف مبین توالی متغیرهای تصادفی مانند X_1, X_2, X_3, \dots است به بیانی دیگر، اگر مجموعه‌ای از حالات 9 را به صورت:

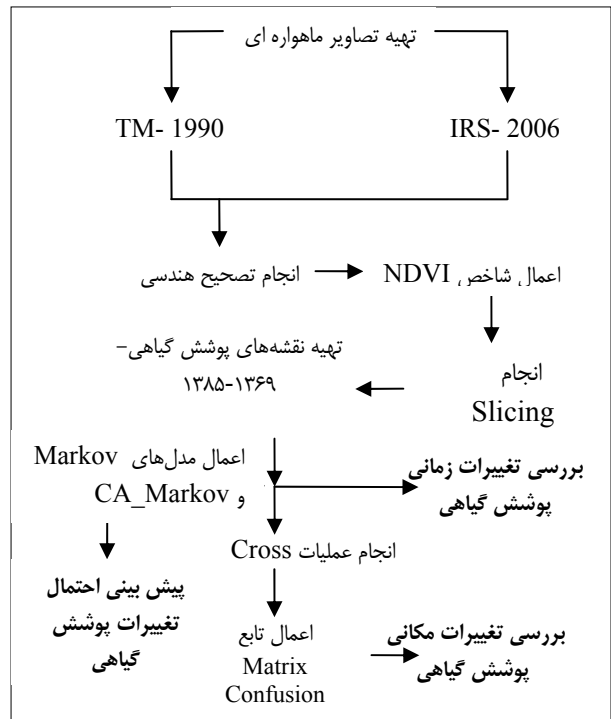


شکل شماره (۵): نقشه فضای سبز منطقه ۱ شهرداری تهران سال ۱۳۸۵ (منبع: نویسندها)

دقت نقشه‌های فضای سبز به دست آمده و ضریب کاپا به ترتیب $87/1$ و $89/4$ درصد و $82/0$ و $92/0$ برای سالهای 1369 و 1385 تعیین شد. برای بررسی تغییرات فضای سبز منطقه مورد مطالعه، وسعت هر یک از کلاس‌های سرسبزی نقشه‌های فضای سبز در دو مقطع زمانی 1369 و 1385 در جدول شماره (۴) با یکدیگر مقایسه شده است.

جدول شماره (۴): وسعت کلاس‌های سرسبزی نقشه فضای سبز منطقه ۱ شهرداری تهران - سالهای 1369 و 1385

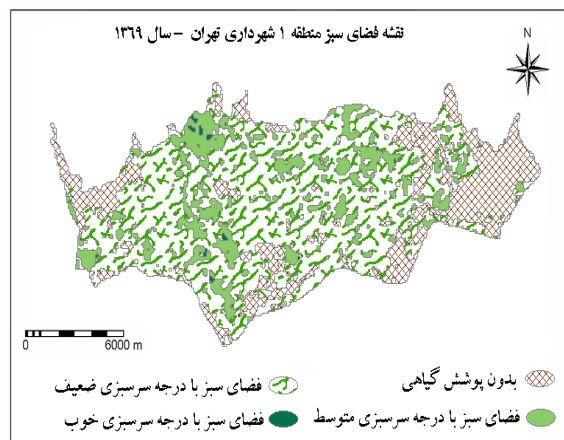
| نوع تغییرات | تغییرات وسعت (هکتار) | وسعت (هکتار) در سال 1385 | وسعت (هکتار) در سال 1369 | |
|-------------|----------------------|----------------------------|----------------------------|-------------------------------|
| افزایشی | + $1538/28$ | $2342/23$ | $804/15$ | اراضی بدون پوشش |
| کاهشی | - $1526/13$ | $641/7$ | $2167/83$ | فضای سبز با درجه سرسبزی ضعیف |
| کاهشی | - $15/3$ | $503/01$ | $518/31$ | فضای سبز با درجه سرسبزی متوسط |
| کاهشی | - $3/15$ | $17/1$ | $13/95$ | فضای سبز با درجه سرسبزی خوب |
| کاهشی | - $1538/28$ | $1161/81$ | $2700/09$ | اراضی دارای پوشش گیاهی |



شکل شماره (۳): مراحل انجام مطالعه

نتایج

با اعمال شاخص NDVI بر روی تصاویر TM و IRS و با توجه به هیستوگرام‌های به دست آمده، نقشه‌های فضای سبز منطقه ۱ شهرداری تهران با تعریف درجات مختلف سرسبزی در سالهای 1369 و 1385 تهییه شد. این مهم در اسکال شماره (۴) و (۵) نمایش داده شده است.



شکل شماره (۴): نقشه فضای سبز منطقه ۱ شهرداری تهران

سال ۱۳۶۹ (منبع: نویسندها)

۳- در راستای افزایش سطوح تحت پوشش، بیشترین تبدیلات از کلاس فاقد پوشش به طبقه فضای سبز با درجه سرسبزی ضعیف بوده است.

شايان ذكر است که نتایج اعمال مدل مارکوف در پيش‌بيين تغييرات فضای سبز تا افق ۱۴۰۴ در جدول شماره (۴) نشان داده است.

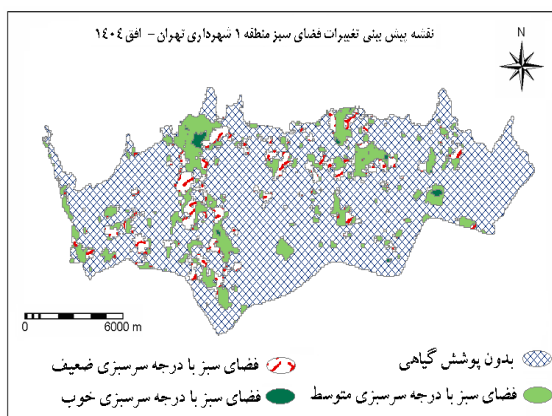
جدول شماره (۴): پيش‌بيين احتمال تبديل کلاس‌هاي مختلف فضای سبز منطقه ۱ شهرداري تهران به يكديگر تا افق ۱۴۰۴

| احتمال | ۱ | ۲ | ۳ | ۴ |
|--------|---------|---------|---------|---------|
| ۱ | .۰/۹۳۰۹ | .۰/۰۴۵۳ | .۰/۰۲۳۳ | .۰/۰۰۰۵ |
| ۲ | .۰/۷۷۴۳ | .۰/۱۳۲۲ | .۰/۰۹۱۲ | .۰/۰۰۲۳ |
| ۳ | .۰/۲۴۸۶ | .۰/۲۳۶۹ | .۰/۰۹۲۱ | .۰/۰۲۲۴ |
| ۴ | .۰/۰۱۲۷ | .۰/۱۷۲۰ | .۰/۰۷۴۲ | .۰/۱۱۱۱ |

- (۱)- اراضي بدون پوشش / ۲- فضای سبز با درجه سرسبزی ضعیف /
- ۳- فضای سبز با درجه سرسبزی متوسط / ۴- فضای سبز با درجه سرسبزی خوب)

بنابراین همان گونه که در جدول شماره (۴) نشان داده شده است بیشترین و کمترین احتمال تخریب تا افق ۱۴۰۴ به ترتیب در اراضي تحت پوشش با درجه سرسبزی ضعیف، متوسط و خوب مشاهده می‌شود. همچنین تبدیل اراضي فاقد پوشش به اراضي تحت پوشش با درجه سرسبزی ضعیف بیشترین احتمال یعنی .۰/۰۴۵۳ را نشان می‌دهد.

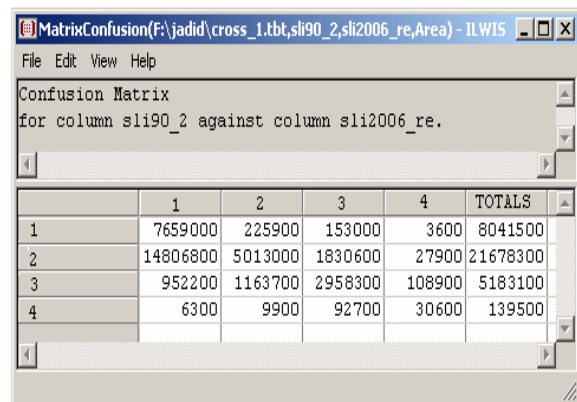
همچنین با اعمال مدل سلول خودکار - مارکوف با استفاده از احتمالات به دست آمده از اجرای مدل مارکوف، نقشه پيش‌بيين فضای سبز منطقه مورد مطالعه در سال ۱۴۰۴ (شکل شماره ۷) حاصل و وسعت احتمالی هر يك از طبقات فضای سبز منطقه نموذار شماره (۸) تعیین شد.



شکل شماره (۷): نقشه پيش‌بيين فضای سبز منطقه ۱ شهرداري

تهران تا سال ۱۴۰۴ (منبع: نويسندگان)

بنابراین می‌توان دریافت که در این بازه زمانی وسعت اراضي منطقه ۱ شهرداري تهران که فضای سبز با درجه سرسبزی ضعیف و متوسط بوده‌اند به میزان ۱۵۳۸/۲۸ هکتار کاهش و به همین میزان به وسعت اراضي فاقد پوشش افزوده شده است. گفتنی است که نتایج بررسی رویه تغیيرات با استفاده ازتابع Confusion Matrix به ترتیب، در شکل شماره (۶) نمایش داده است.



شکل شماره (۶): تبديل کلاس‌هاي فضای سبز منطقه ۱

شهرداري تهران - (۱۳۸۵ تا ۱۳۶۹)

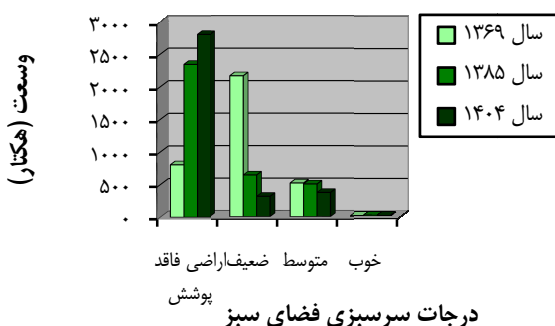
- (۱)- اراضي بدون پوشش / ۲- فضای سبز با درجه سرسبزی ضعیف /
- ۳- فضای سبز با درجه سرسبزی متوسط / ۴- فضای سبز با درجه سرسبزی خوب)

با توجه به جدول ارائه شده، می‌توان رویه تغیيرات فضای سبز منطقه مورد مطالعه را در موارد ذیل بیان کرد:

- از وسعت کلاس‌هاي فضای سبز با درجه سرسبزی ضعیف، متوسط و خوب به ترتیب ۱۴۸۰/۶۸ و ۹۵/۲۲ و ۶۳/۰ هکتار به کلاس اراضي فاقد پوشش تبدیل شده است که این موضوع نشان‌دهنده تخریب صورت گرفته در فضای سبز منطقه به میزان ۱۵۷۶/۵۳ هکتار است. همچنین مشاهده می‌شود که ۲۲/۵۹ و ۰/۳۶ هکتار از وسعت اراضي بدون پوشش به ترتیب به اراضي تحت پوشش با درجه سرسبزی ضعیف، متوسط و خوب تعیير یافته است. بنابراین می‌توان بیان کرد که میزان تخریب نهايی در وسعت فضای سبز، منطقه ۱۵۳۸/۲۸ هکتار است.

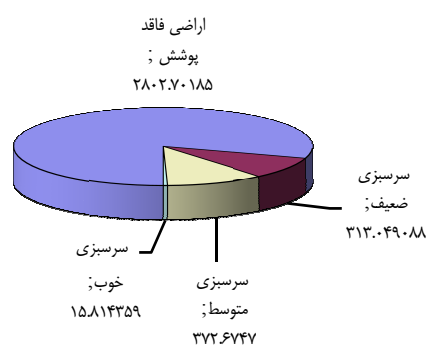
- بیشترین وسعت تخریب صورت گرفته در کلاس اراضي تحت پوشش با درجه سرسبزی ضعیف است که به صورت گسترده در منطقه دیده می‌شود و اراضي تحت پوشش با درجه سرسبزی متوسط و خوب از نظر میزان تخریب در رده بعدی قرار دارد.

تبدیل این اراضی به کلاس اراضی بایر، می‌توان عدم حفاظت از اراضی تحت پوشش را به عنوان یکی از دلایل تخریب نام برد. با توجه به نمودار شماره (۹) می‌توان دریافت که در هر سه مقطع زمانی سالهای ۱۳۶۹، ۱۳۸۵ و ۱۴۰۴ به ترتیب اراضی دارای فضای سبز با درجه سرسبزی ضعیف، متوسط و خوب، بیشترین وسعت را در بر داشته‌اند. نشان‌دهنده آن است که فضای سبز منطقه ۱ شهرداری تهران از نظر کمی (وسعت) روند نزولی داشته است ولی از نظر کیفی (ارتفاع، و یا تنزل درجه سرسبزی غالب) تغییری نکرده است. نتایج اعمال مدل‌های مارکوف و سلول خودکار- مارکوف حاکی از پیش‌بینی تداوم این روند تا سال ۱۴۰۴ است.



نمودار شماره (۹): مقایسه تغییرات فضای سبز منطقه ۱ شهرداری تهران در فاصله سالهای ۱۳۶۹ تا ۱۳۸۵ و ۱۴۰۴

در نمودار شماره (۱۰) مراحل مدیریت و نظارت بر تغییرات پوشش گیاهی شهری پیشنهاد می‌شود. در بررسی راهبرد سازمان پارک‌ها و فضای سبز شهرداری به کمک ماتریس SWOT، بررسی مشخصه‌های زیر‌الزامی است: نقطه قوت^{۱۱}، توانمندی‌های سازمان پارک‌ها و فضای سبز شهرداری را در کاربرد موفق یک شایستگی یا بهره‌برداری از یک عامل کلیدی در جهت توسعه، شامل می‌شود. در مقابل، نقطه ضعف^{۱۲} به عدم توانمندی‌های سازمان پارک‌ها و فضای سبز شهرداری در کاربرد موفق شایستگی، یا بهره‌برداری از عاملی کلیدی برای توسعه، اشاره می‌کند. همچنین فرصت‌ها^{۱۳}، بر عواملی دلالت می‌کنند که می‌توانند بر عملکرد سازمان پارک‌ها و فضای سبز شهرداری، تأثیر مثبت داشته باشد. این در حالی است که تهدیدها^{۱۴}، دقیقاً در نقطه مقابل فرصت‌ها قرار گرفته‌اند. با شناخت عوامل فوق می‌توان راهبردهای گوناگون را مطرح کرد. برای نمونه با هدف استفاده از نقاط قوت (S) سازمان پارک‌ها و فضای سبز در بهره‌گیری از فرصت‌ها (O)، می‌توان راهبرد SO را مطرح کرد. همچنین توانایی طرح، راهبرد WO با هدف بهبود نقاط ضعف (W) سازمان با بهره‌گیری از فرصت‌ها (O) نیز وجود دارد. سازمان



نمودار شماره (۸): وسعت پیش‌بینی شده (هکتار) برای هر یک از طبقات فضای سبز منطقه ۱ شهرداری تهران - سال ۱۴۰۴

گفتنی است که نتایج به دست آمده از اعمال مدل‌های مارکوف و سلول خودکار- مارکوف براساس احتمالاتی است که طی عملیات ریاضی و با توجه به نقشه‌های پایه سالهای ۱۳۶۹ و ۱۳۸۵ حاصل شده است.

بحث و نتیجه‌گیری

نتایج این مطالعه که با هدف بررسی تغییرات فضای سبز منطقه ۱ شهرداری تهران در طی سالهای ۱۳۶۹ تا ۱۳۸۵ صورت گرفته، نشان می‌دهد در این دوره به میزان ۱۵۳۸/۲۸ هکتار بر وسعت اراضی فاقد پوشش افزوده و به همین میزان از وسعت اراضی دارای پوشش کاسته شده است که این امر تخریب صورت گرفته در فضای سبز منطقه به علت تغییر کاربری اراضی را نشان می‌دهد. با توجه به کاربری‌های موجود در منطقه، کلاس اراضی فاقد پوشش شامل اراضی شهری و ساخته شده و اراضی بایر است. همچنین کلاس فضای سبز کلیه اراضی فضای سبز عمومی و خصوصی منطقه را شامل می‌شود. بنابراین جهت شناخت علل اصلی تغییر کاربری اراضی منطقه که منجر به تخریب فضای سبز در منطقه ۱ شهرداری تهران شده است، تهیه نقشه‌های کاربری اراضی منطقه ۱ در دو سال ۱۳۶۹ و ۱۳۸۵ و تهییه نقشه نهایی تغییرات با استفاده از تکنیک بررسی تغییرات پس از طبقه بندی با اعمال تابع Cross Tabulation پیشنهاد می‌شود. بدین ترتیب می‌توان تبدیل کلاس فضای سبز به اراضی بایر، اراضی شهری و ساخته شده و اراضی زراعی منطقه را بررسی کرد. همچنین مطالعه تغییرات در کلاس اراضی زراعی با توجه به تبدیل این کلاس به کلاس اراضی شهری و ساخته شده، اراضی بایر و فضای سبز امکان پذیر است. بدین ترتیب در صورت تبدیل اراضی فضای سبز و زراعی به اراضی شهری و ساخته شده، علت اصلی تخریب، توسعه شهری بوده و در صورت

۲- آنچه روش انجام این مطالعه را در مقایسه با دو مطالعه عبدالهی و همکاران (۱۳۸۵ و ۱۳۸۷) گسترده‌تر می‌کند آن است که در مطالعه پیش رو روش تغییرات پوشش گیاهی منطقه مورد مطالعه با اعمال تابع confusion matrix نیز بررسی شده است. بدین ترتیب می‌توان تغییر کاربری اراضی مانند تبدیل اراضی دارای پوشش به اراضی فاقد پوشش و بالعکس را بررسی کرد که این موضوع در نواحی شهری با توجه به افزایش روزافزون جمعیت شهرنشینان، افزایش قیمت اراضی و نیاز به توسعه فیزیکی شهرها مهم می‌کند. این تکنیک، همچنین امکان نمایش پراکندگی مکانی تغییرات و عدم تغییرات را در یک نقشه فراهم می‌سازد که در طرحهای توسعه فضاهای شهری، به عنوان ابزاری کارا در جهت توجه به اراضی تحت پوشش و جلوگیری از تخریب و تغییرات کاربری اراضی آنها مفید است.

۳- همچنین استفاده از مدل‌های مارکوف و سلول خودکار- مارکوف در پیش‌بینی تغییرات و تهییه نقشهٔ پیش‌بینی تغییرات فضای سبز از دیگر جنبه‌های نوآوری این مطالعه در مقایسه با مطالعات عبدالهی و همکاران (۱۳۸۵ و ۱۳۸۷) محسوب می‌شود. آنچه که مطالعه حاضر را نسبت به مطالعه Mubea (۲۰۱۰) متمایز می‌کند، اعمال مدل سلول خودکار- مارکوف با استفاده از احتمالات منتج شده از اعمال مدل مارکوف برای تهییه نقشهٔ پیش‌بینی تغییرات فضای سبز است. با در اختیار داشتن این نقشه موقعیت مکانی- احتمالی (طول و عرض جغرافیایی) تمام پیکسل‌های هر یک از کلاس‌های فضای سبز در اختیار است. بدینهی است که این مسئله به برنامه‌ریزی‌های آتی کمک شایانی می‌کند.

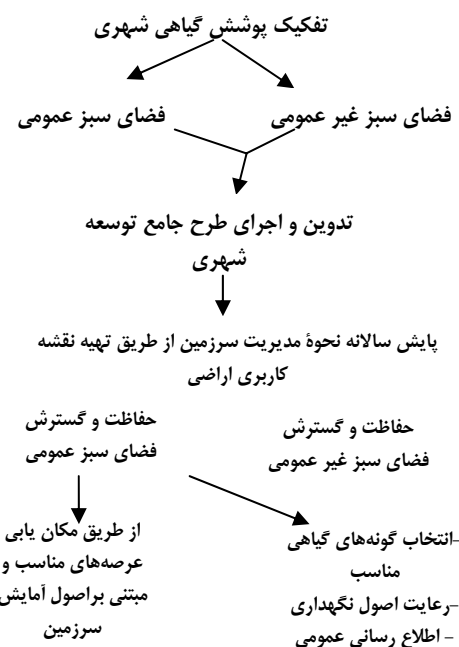
یادداشت‌ها

- 1-Normalized Difference Vegetation Index
- 2-Universal Transverse Mercator
- 3-Root mean square errors
- 4-Nearest Neighborhood
- 5-Cost Model
- 6-Near Infra Red
- 7-Post Classification Change Detection Technique
- 8-Markov
- 9-State
- 10-Cellular Automata Markov change prediction
- 11-Strength
- 12-Weakness
- 13-Opportunity
- 14-Threat

پارک‌ها و فضای سبز شهرداری تلاش می‌کند تا با تدوین راهبردهای ST و WT، به ترتیب، آثار ناشی از تهدیدها را کاهش داده و یا از بین ببرد و نقاط ضعف را تا حد ممکن کاسته و از تهدیدات ممانعت کند. گفتنی است که هدف از تدوین راهبردهای مختلف، آن است که بتوان راهبردهای قابل اجرا را تدبیین کرد. بررسی راهبردهای مختلف و تشخیص راهبردهای قابل اجرا، امكان شناخت بهتر وضعیت موجود را برای برنامه‌ریزی آتی فراهم می‌کند.

شناسایی نقاط ضعف و قوت بوشش گیاهی شهری از

طريق ماتریس SWOT



نمودار شماره (۱۰): مراحل مدیریت و نظارت بر تغییرات

فضای سبز

در پایان، با توجه به روش انجام این مطالعه و مطالعه مشابهی که توسط عبدالهی و همکاران (۱۳۸۷ و ۱۳۸۵) در بررسی فضای سبز شهرستان‌های اردکان، تفت، طبس و مهریز صورت گرفته است می‌توان به موارد ذیل اشاره کرد:

- در مطالعه انجام شده توسط عبدالهی و همکاران (۱۳۸۷) طبقه بندی مقادیر NDVI به شش کلاس مساوی صورت گرفته است که در مطالعه حال حاضر این مقادیر با هدف افزایش دقت نتایج حاصل، با توجه به تغییرات شب هیستوگرام به دست آمده از اعمال شاخص، طبقه بندی شده است.

منابع مورد استفاده

اسداللهی، ز.، اسداللهی، ذ. ۱۳۸۹. استخراج و بررسی تغییرات نقشه شاخص NDVI با استفاده از GIS و RS (مطالعه موردنی: تالاب چخاخور)، اولین کنفرانس ملی ژئوپردازی نوین در خدمت جامعه، ۱ تا ۵.

بنیاد، الف .. حاجی قادری، ط. ۱۳۸۶. تهیه نقشه جنگل‌های طبیعی استان زنجان با استفاده از داده‌های سنجنده ETM⁺ ماهواره لندست ۷، مجله علوم و فنون کشاورزی و منابع طبیعی، شماره ۶۲۷-۴۲۶۳۸

زبردست، ل. و همکاران. ۱۳۸۹. ارزیابی روند تغییرات پوشش اراضی منطقه حفاظت شده ارسیاران در فاصله زمانی ۲۰۰۸-۲۰۰۶ و ۲۰۰۲-۲۰۰۶ میلادی با استفاده از تصاویر ماهواره‌ای، مجله پژوهش‌های محیط زیست، شماره ۲۳: ۳۳ تا ۳۰.

عبداللهی، ج. و همکاران. ۱۳۸۵. بررسی آثار زیست محیطی تغییر کاربری اراضی بر روی پوشش گیاهی مناطق شهری با استفاده از تکنیک سنجش از دور، علوم و تکنولوژی محیط زیست، ۱: ۲۹ تا ۱۴.

عبداللهی، ج.، چراغی، س.ع.م.، رحیمیان، م.ح. ۱۳۸۷. مقایسه آثار زیست محیطی تغییر کاربری اراضی بر تغییر پوشش گیاهی و دمای سطحی در مناطق شهری و غیر شهری با استفاده از سنجش از دور، محیط‌شناسی، ۳۴: ۱۰ تا ۱۸.

علوی پناه، س.ک. و همکاران. ۱۳۸۵. بررسی تغییر پذیری طیفی پدیده‌های مختلف پوشش گیاهی و اب با استفاده از سنجش از دور، پژوهش‌های جغرافیا، ۵۸: ۸۱ تا ۹۷.

فاطمی، س.ب.، رضایی، ی. ۱۳۸۴. مبانی سنجش از دور، انتشارات آزاده

مرکز آمار ایران. ۱۳۹۰. سالنامه آماری استان تهران.

نیازی، ی. و همکاران. ۱۳۸۹. مقایسه دو روش طبقه بندی حداقل احتمال و شبکه عصبی مصنوعی در استخراج نقشه کاربری اراضی (مطالعه موردنی: حوزه سد لنیان)، مجله جغرافیا و توسعه، شماره ۲۰: ۱۱۹ تا ۱۳۳.

Balzter,H. 2000. Markov- chain models for vegetation dynamics. Ecological Modeling, 126: 139-154.

Chen,X., et al. 2006. Remote sensing image-based analysis of the relationship between urban heat island and Land use/cover changes, Remote Sensing of Environment, 133-146.

Dellepian,S.G. , P.C.,Smith .1999.Quality assessment of image classification algorithms for land cover mapping: A review and a proposal for a cost based approach, International Journal of remote sensing, 20, 1461-1486.

Dewan,A. , Y.,Yamaguchi .2009. Land use and land cover change in Greater Dhaka, Bangladesh: Using remote sensing to promote sustainable urbanization, Applied Geography, 390-401.

He,C., et al .2006. Modeling Urban expansion scenarios by coupling cellular automata model and system dynamic model in Beijing, China, Applied Geography, 26:323-345.

Jiang,Z., et al .2006. Analysis of NDVI and scaled difference vegetation index retrievals of vegetation fraction, Remote Sensing of Environment, 366-378.

Julien,Y., J.Sobrino, W.,Verhoef .2006. Changes in land surface temperatures and NDVI values over Europe between 1982 and 1999, *Remote Sensing of Environment*, 43-55.

Lee,T., H.,Yeh .2009. Applying remote sensing techniques to monitor shifting wetland vegetation: A case study of Danshui River estuary mangrove communities, Taiwan, *Ecological Engineering*, 487-496.

Leeuwen,W., et al. 2006. Multi-sensor NDVI data continuity: uncertainties and implications for vegetation monitoring applications, *Remote Sensing of Environment*, 67-81.

Martinez,B. , M.,Gilabert .2009. Vegetation dynamics from NDVI time series analysis using wavelet transform, *Remote Sensing of Environment*, 1823-1842.

Mubea,K.W., T.G.,Ngigi, C.N.,Mundia .2010. Assessing Application of Markov Chain Analysis in Predicting Land Cover Change: A Case Study of Nakuru Municipality.

<http://www.gisdevelopment.net/application/environment/conservation/Nakurumunicipality.htm>

Park,S., et al. 2011. Prediction and comparison of urban growth by land suitability index mapping using GIS and RS in South Korea. *Landscape and urban planning*, 99:104-114.

Rafiee,R., A.,Mahiny, N.,Khorasani. 2009. Assessment of changes in urban green spaces of Mashad city using satellite data, *International Journal of Applied Earth Observation and Geoinformation*, 431-438.

Ronald Eastman,J. 2006. Instruction to remote sensing, the Guilford press.

Shalaby,A. , R.Tateishi. 2007. Remote sensing and GIS for mapping and monitoring land cover and land use changes in the Northwestern coastal zone of Egypt, *Applied Geography*, 28-41

Weiss,J., et al. 2004. Long-term vegetation monitoring with NDVI in a diverse semi-arid setting, central New Mexico, USA, *Journal of Arid Environments*, 249-272.